

II-263 浮流土砂量の数値計算について

日本大学工学部 正員 木村喜代治

1. はじめに

浮流土砂量の計算は Einstein の方法および Lane-Kalinacek の方法が広く用いられている。これらの中流土砂量の計算に含まれる積分は Simpson 法などによつて数値計算し、曲線化されてい。⁽¹⁾⁽²⁾ 通常はこの曲線から数値を読み取り、土砂量の式に入れて計算される。

現在では広くプログラムブルポケット電卓(ポケット型電子式卓上計算機)が使用されるようになった。実用上の観点から、これを用いて浮流土砂量の直接計算をすることを考えてみよう。

著者は先きに⁽³⁾⁽⁴⁾ 積分の計算を Simpson 法によらずに、Gamma 因数、Beta 因数などの変形による計算法を示した。その計算法について適用範囲を若干修正し、また文献⁽³⁾はディスパリットが目立つので、ここに改めて実用に便利なように式を再記した。また Einstein 法によるとときに、一度した直接計算をすすめめた。その粗滑遷移領域におけるパラメータをひとつ近似式で表わした。このようにして計算した結果のいくつかの図を示した。

2. 理論式

a) Einstein 法

理論的には $Z = W/(R_v \nu)$ が整数でない全範囲に対して(ただし実用計算においては、例へば $Z=1$ のとき $Z=0.9999$ または 1.0001 とすれば十分な精度が計算できること),

$$\frac{z_s Q_s}{z_s Q_0} = \ln\left(\frac{30 z h \chi}{d_{65}}\right) I_1 + I_2 = \left(1 + \frac{R_v \nu}{2\chi}\right) I_1 + I_2 \quad (1)$$

$$I_1 = \frac{1}{11.6 R} \frac{A^{Z-1}}{(1-A)^2} J_1, \quad I_2 = \frac{1}{11.6 R} \frac{A^{Z-1}}{(1-A)^2} J_2 \quad (2)$$

$$J_1 = \frac{8\pi}{\lambda m \delta \pi} - A^{(1-Z)} \left\{ \frac{1}{1-Z} + \sum_{n=1}^{\infty} \frac{\frac{n}{n!}(n-1-Z)}{n!(n+1-Z)} A^n \right\} \quad (3)$$

$$J_2 = - \left\{ \frac{1}{(1-Z)^2} + \sum_{n=1}^{\infty} \frac{\frac{n}{n!}(n-1-Z)}{n!(n+1-Z)^2} \right\} - \ln A \cdot A^{(1-Z)} \left\{ \frac{1}{1-Z} + \sum_{n=1}^{\infty} \frac{\frac{n}{n!}(n-1-Z)}{n!(n+1-Z)} A^n \right\} \\ + A^{(1-Z)} \left\{ \frac{1}{(1-Z)^2} + \sum_{n=1}^{\infty} \frac{\frac{n}{n!}(n-1-Z)}{n!(n+1-Z)^2} A^n \right\} \quad (4)$$

ここで z_s : 単位幅当たりの全浮流土砂量, z_s : 浮流砂中に含まれる任意土砂の割合, Q_s : 単位幅当たりの揚流砂量, Q_0 : 揚流砂の中に含まれる任意土砂の割合, h : 水深, W : 土砂沈降速度, d_{65} : 底質の 65% 粒径, λ : Karman 定数, R : 平均流速, ν : 摩擦速度, $A = a/h$, a : 河床から浮流限界までの高さ。

なお、式(1)は少し變えて次式のように表わすことができる。

$$q_s = q C_a \left(\frac{a}{h-a} \right)^2 \left\{ \left(1 + \frac{2\chi}{R_v \nu} \right) J_1 + \frac{2\chi}{R_v \nu} J_2 \right\} = q C_a \left(\frac{a}{h-a} \right)^2 \cdot F \quad (5)$$

q_s : 単位幅当たり任意土砂の浮流土砂量, C_a : 河床から濃度測定位置までの高さ。

また粗滑パラメータを X とすると X は下記式で近似する。

$$X = -2.803 \gamma'(1, y) - 0.618 \\ \gamma'(1, y) = \ln y (1 - e^{-y}) - \sum_{n=1}^{\infty} (-1)^{n-1} y^n / (n! \cdot n) \quad \left. \right\} \quad (6)$$

$$y = R_s / \delta = d_{65} \nu / (11.6 \nu)$$

$\gamma'(1, y)$: 不完全 Gamma 関数をパラメータ $x - \alpha - \gamma$ に回転分し、パラメータ α を 1 に置いたもの。

b.) Lane-Kalinaka 法

$$\left. \begin{aligned} g_s &= q C_0 \exp\left(\frac{\theta \pi \alpha}{R v_* h}\right) P = q C_0 P \\ C_0 &= 5.55 \cdot 2F(\theta) \left[1/2 \cdot (v_* / \pi) \exp\left\{-(\pi / v_*)^2\right\} \right]^{1/16} \\ P &= \left(1 + \frac{v_*}{R v}\right) \frac{1}{K} (1 - e^{-K}) - \left\{ 1 + \frac{v_*}{R v} (1 - \ln A) \right\} \frac{1}{K} (1 - e^{-KA}) \\ &\quad - \frac{v_*}{R v} \frac{1}{K} \left\{ \sum_{n=1}^{\infty} (-1)^{n-1} \frac{K^n}{n! n} - \sum_{n=1}^{\infty} (-1)^{n-1} \frac{(KA)^n}{n! n} \right\} \end{aligned} \right\} \quad (7)$$

$$(8)$$

上式は渦流限界を考慮した式である。 $\gamma = 2$

$$K = 6 \pi / (R v_*), \quad v_* / (R v) = \sqrt{q} \cdot n / (R h^{1/6}) \quad (9)$$

3. 計算例

以上の諸式を用いて計算し、図化した例が次の諸図である。Fig. 1 は渦流限界を無視し、 $A = 0$ として全水深についての計算曲線である。Fig. 2 は流速 0 点の位置を渦流限界として計算した曲線で、同一条件ならば最も大きな値を与える。

3. Fig. 3 は

$A = 10^{-2}$ および

$A = 10^{-4}$ として

渦流限界を考慮した

計算曲線である。

Fig. 4 は粗粒遷移領域に対する X 値の Einstein の

未した

曲線で

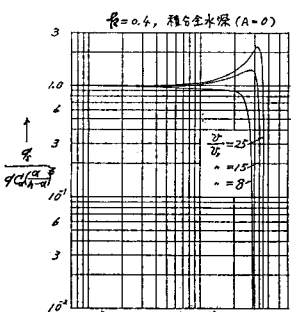


Fig. 1

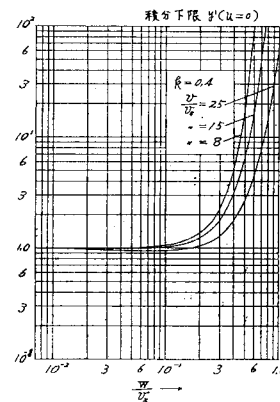


Fig. 2

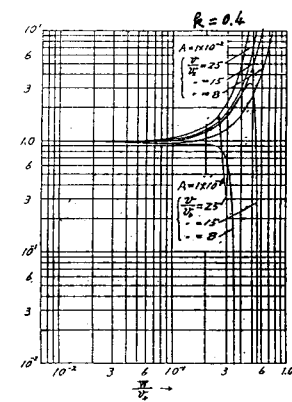


Fig. 3

対比式

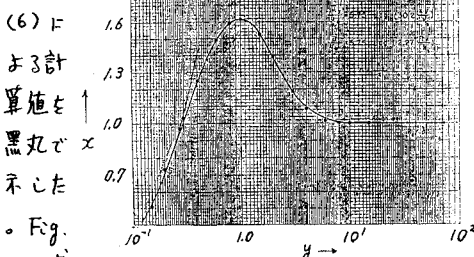


Fig. 4

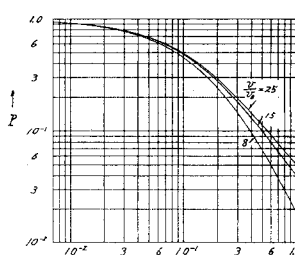


Fig. 5

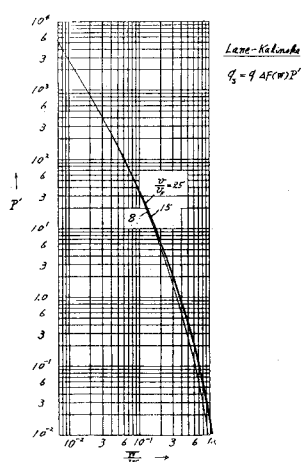


Fig. 6

よろず P の計算曲線、Fig. 6 はこれらの諸式を用いた P' の計算曲線である。

Fig. 1 ~ 3 は明らかにようし = Einstein 法によると式 (5) の E は π / v_* ≤ 0.1 であれば、 θ 、 v_*/v 、 A の比に拘束なくほぼ 1.0 として大差なく $g_s / q = C_0 \{ d / (h-d) \}^2$ となる。

参考文献: 1) Einstein: Dept. of Agric. Tech. Bull., 1950. 2) Lane,

Kalinaka: Trans AGII, 1941. 3) 看護: 新砂防, 1957. 4) 著者: 土木論文集, 1958.